

М. А. Лялинов

**СОБСТВЕННЫЕ ФУНКЦИИ ОТРИЦАТЕЛЬНОГО  
СПЕКТРА ОПЕРАТОРА ШРЁДИНГЕРА В  
ПОЛУПЛОСКОСТИ С СИНГУЛЯРНЫМ  
ПОТЕНЦИАЛОМ НА ЛУЧЕ И С УСЛОВИЕМ  
НЕЙМАНА НА ГРАНИЦЕ**

Посвящается Василию Михайловичу Бабищу

§1. ВВЕДЕНИЕ

В данной работе мы развиваем подход, предложенный в статье [1] для похожей задачи в  $\mathbb{R}^3$ , и применяем его к задаче для оператора Лапласа с потенциалом в полуплоскости в ситуации, когда сингулярный потенциал сосредоточен на луче с началом на границе полуплоскости. На границе полуплоскости выполнено условие Неймана. Нашей целью является изучение собственных функций отрицательного спектра, который состоит из существенного (на самом деле, непрерывного) и дискретного спектра.<sup>1</sup> Для этого, используя неполное разделение переменных и интегральное представление Конторовича–Лебедева (КЛ), мы сводим задачу вычисления собственных функций к спектральной задаче для функционально-разностного уравнения второго порядка с мероморфным потенциалом. Дальнейшая редукция к интегральному уравнению позволяет исследовать спектр стандартными методами для самосопряженных ограниченных интегральных операторов. Для вычисления асимптотики собственных функций удобно перейти от интегрального представления КЛ к интегралу Зоммерфельда. При этом, трансформанты Зоммерфельда, т.е. функции в подынтегральном выражении интеграла Зоммерфельда, удовлетворяют системе функциональных уравнений Маложинца, что, в частности, позволяет найти их

---

*Ключевые слова:* дискретный и существенный спектр, собственные функции, интегралы Конторовича–Лебедева, техника Зоммерфельда–Маложинца, асимптотика, функционально-разностные уравнения.

Работа поддержана Российским Научным Фондом, грант 17-11-01126.

<sup>1</sup>Положительный спектр заполняет полуось и является существенным (и непрерывным).

особенности (полюсы). Асимптотика собственных функций дискретного (и обобщенных собственных функций непрерывного) спектра для больших расстояний вычисляется применением метода перевала к интегралам Зоммерфельда.

В последние десятилетия похожие задачи по описанию спектра исследовались на основе общих методов [2, 3] спектрального анализа самосопряженных операторов в гильбертовом пространстве, см. [4–6], а также [7]. Конечность спектра и оценки собственных функций для задачи в угле с условиями Робэна на границе рассмотрены в работе [6]. В этой задаче собственные числа и функции могут быть найдены явно [8] и, более того, в терминах элементарных функций. В математическом смысле с этой задачей тесно связана проблема вычисления локализованных волн вблизи наклонного берега в теории малых линейных колебаний жидкости (моды Урсела), [9, 10], раздел 5.2, [11]. Удовлетворительный обзор по данному вопросу можно найти в [10], в разделе 5.2. Известные локализованные моды (Ursell) напрямую соответствуют собственным функциям, получаемым с помощью техники Зоммерфельда-Малюжинца в работе [8]. Стоит отметить, однако, что в задаче о собственных малых колебаниях жидкости в прибрежном клине спектральным параметром является параметр в граничном условии, а ищутся значения этого параметра, для которых существуют локализованные решения (из  $H^1$ ) модифицированного уравнения Гельмгольца с фиксированным волновым числом в угле. Собственные функции и числа из [6, 8] легко пересчитываются в их аналоги из [9, 10], раздел 5.2. Полезно заметить, что “полнота” построенных собственных функций [9] обсуждается в работе [12].

В следующем параграфе мы обсудим постановку задачи и введем самосопряженный оператор, спектр которого и собственные функции мы изучаем в данной работе. Для сравнения мы также напомним результаты, касающиеся собственных функций оператора Лапласа в клине с импедансными краевыми условиями (Робэна).

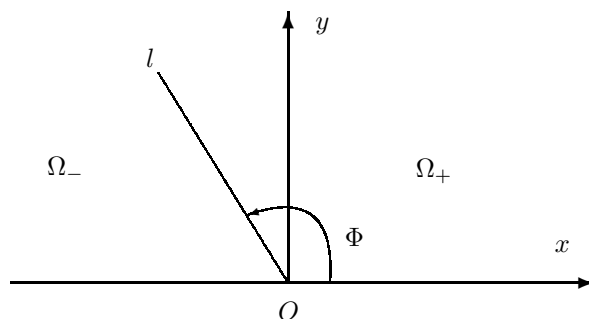
Мы используем интегральное представление КЛ и неполное разделение переменных [13] и сводим построение собственных функций к спектральной задаче для функционально-разностного уравнения с мероморфным потенциалом. С использованием преобразования Фурье функционально-разностное уравнение сводится к интегральному

уравнению с самосопряженным ограниченным интегральным оператором  $K$ . Структура спектра этого положительного оператора полностью определяет отрицательный спектр и собственные функции исходного оператора. Существенный (непрерывный) спектр интегрального оператора  $K$  заполняет отрезок  $[0, 1]$ , а дискретный спектр конечен и располагается правее единицы.

Мы исследуем поведение мероморфных решений функционально-разностного уравнения и их асимптотическое поведение вдоль мнимой оси. Для вычисления асимптотики собственных функций (или обобщенных с.ф. для непрерывного спектра) по расстоянию представление КЛ преобразуется к интегралу Зоммерфельда. Трансформанты Зоммерфельда подчиняются функциональным уравнениям Малюжинца [14, 15] и являются мероморфными функциями. Положение полюсов этих трансформант играет ключевую роль при асимптотической оценке интегралов Зоммерфельда по методу перевала. Локализация полюсов и вычисление вычетов производится с использованием уравнений Малюжинца.

Асимптотическая оценка интегралов Зоммерфельда для собственных функций использует традиционный метод перевала [16] в случае, когда полюса трансформант Зоммерфельда отделены от точек перевала. В этом случае, в старшем порядке собственные функции ведут себя как убывающие экспоненты (или как ограниченные экспоненты в случае непрерывного спектра), причем скорость их убывания изменяется при переходе через так называемые сингулярные направления [17]. В окрестности этих направлений, которые соответствуют ситуации слияния полюса с точкой перевала, асимптотическое поведение описывается в терминах специальной функции типа интеграла Френеля [18]. В окрестности сингулярного направления происходит “переключение” скорости убывания собственной функции на бесконечности.

Отметим, что интегральные представления и асимптотическое поведение собственных функций на больших расстояниях являются основными новыми результатами, полученными в рамках нашего подхода. Насколько нам известно, такого сорта формулы для собственных функций дискретного и непрерывного спектра подробно не обсуждались в литературе для данного класса задач. Параллельно мы рассматриваем и явно решаемую модель – оператор Лапласа в угле с условиями Робэна на границе.

Рис. 1. Области  $\Omega_{\pm}$  и границы.

## §2. ПОСТАНОВКА ЗАДАЧИ

Рассмотрим верхнюю полуплоскость  $\mathbb{R}_+^2$  с границей  $y = 0$  и выделим подобласти (Рис. 1)

$$\Omega_+ = \{(r, \varphi) : r > 0, 0 < \varphi < \Phi\} \text{ и } \Omega_- = \{(r, \varphi) : r > 0, \Phi < \varphi < \pi\},$$

где  $\pi/2 < \Phi < \pi$ , а  $r, \varphi$  полярные координаты связаны с декартовыми  $x = r \cos \varphi, y = r \sin \varphi$ . Общая граница областей  $\Omega_+$  и  $\Omega_-$  является лучом  $l = \{(r, \varphi) : r > 0, \varphi = \Phi\}$ . Мы ищем классические решения  $u^{\pm} \in C^2(\Omega_{\pm})$  уравнения

$$-\Delta u^{\pm}(x, y) = E u^{\pm}(x, y), \quad (x, y) \in \Omega_{\pm}, \quad (1)$$

где  $E$  спектральный параметр считается отрицательным, и только знаки  $+$  или  $-$  в формулах используются здесь и в дальнейшем одновременно. Краевое условие Неймана выполнено на границе полуплоскости,

$$\frac{\partial u^+}{\partial y} \Big|_{\varphi=0} = 0, \quad \frac{\partial u^-}{\partial y} \Big|_{\varphi=\Phi} = 0, \quad (2)$$

а условия типа Робэна на границе  $l$

$$\left[ \frac{\partial u}{\partial n} \right]_l - \frac{\gamma}{2} (u^+ + u^-) \Big|_l = 0, \quad (3)$$

$$u^+|_l = u^-|_l, \quad (4)$$

где  $\gamma > 0$  и

$$\left[ \frac{\partial u}{\partial n} \right]_l := \frac{1}{r} \frac{\partial u^+}{\partial \varphi} \Big|_{\varphi=\Phi+0} - \frac{1}{r} \frac{\partial u^-}{\partial \varphi} \Big|_{\varphi=\Phi-0}.$$

В приложениях условия вида (3),(4) называют условиями полупрозрачности тонкого импедансного листа (impedance sheet), моделирующего тонкий диэлектрический слой в задачах рассеяния электромагнитных волн, см. раздел 10.1 в [15]. Соответствующие граничные значения искомым функций  $u^\pm$  и их нормальных производных считаются непрерывными вдоль границы. Классическая постановка задачи подразумевает также ограничения на решения в угловых точках (условия Мейкснера),

$$u^\pm(r, \varphi) = C^\pm + O(r^{\delta^\pm}), \quad \delta^\pm > 0 \quad (5)$$

при  $r \rightarrow 0$  равномерно по  $\varphi \in [0, \Phi]$  для  $u^+$  и  $\varphi \in [\Phi, \pi]$  для  $u_-$  соответственно.

Собственные функции дискретного спектра, а они действительно существуют, выделим условием

$$\int_{\Omega_\pm} |u^\pm(r, \varphi)|^2 e^{2d_\pm r} dx dy < \infty, \quad (6)$$

где  $d_\pm$  некоторые положительные постоянные. Заметим, что этим оценкам (6) удовлетворяют только собственные функции дискретного спектра и, значит, они экспоненциально убывают, тогда как собственные функции существенного (непрерывного) спектра окажутся просто ограниченными в  $\Omega_\pm$ .

Классическую постановку задачи (1)–(6) естественно сопроводить явным описанием соответствующего самосопряженного оператора  $A$  (см. [5]), причем уравнение для собственных функций принимает вид

$$AU = EU,$$

где  $E$  спектральный параметр. Оператор  $A$  определяется своей полуторалинейной формой

$$a[U, V] = \int_{\mathbb{R}_+^2} \nabla U \cdot \nabla \bar{V} dx dy - \gamma \int_l U \bar{V} ds.$$

Эта форма полуограничена и замкнута, если  $\text{Dom}[a] = H^1(y > 0)$ . В соответствии с общей теорией [2, 3] существует отвечающий ей полуограниченный самосопряженный оператор  $A = A^*$ . Спектр этого оператора состоит из существенного спектра [5], совпадающего с лучом  $[-\gamma^2/4, \infty)$ , и непустой ограниченной дискретной компоненты, принадлежащей  $(-\infty, -\gamma^2/4)$ . Действительно, если рассмотреть симметричное продолжение областей  $\Omega_{\pm}$  через границу  $y = 0$  и четное по  $y$  продолжение решения, то провозглашенные результаты для оператора Шрёдингера с сингулярным потенциалом следуют из цитированных работ. Остается заметить, что у чётных собственных решений нормальная производная обращается в ноль при  $y = 0$ .

В дальнейшем мы изучаем собственные функции отрицательного спектра описанного самосопряженного оператора  $A$ , который также естественно ассоциировать с оператором Шрёдингера с сингулярным  $\delta$ -потенциалом с носителем на луче  $l$  в верхней полуплоскости,  $A = -\Delta_{\gamma, \delta}$ , см. [5].

### 2.1. О спектре задачи Робэна для оператора Лапласа в угле .

Поучительно рассмотреть родственную задачу, допускающую явное вычисление собственных функций и собственных чисел. Рассмотрим область  $\Omega_*$ , которая симметрична  $\Omega_-$  относительно оси  $Ox$ . Назовем клином угловую область  $\overline{\Omega_* \cup \Omega_-}$  раствора  $2\bar{\Phi} := 2(\pi - \Phi)$ , причем  $l \cup l_*$  является ее границей. Собственные функции  $v_m$ ,  $m = 1, 2, \dots, N(\bar{\Phi})$  самосопряженного оператора  $A_w = -\Delta$  в клине с краевыми условиями Робэна на границе  $l \cup l_*$  (см. детали в [6, 8])

$$\frac{\partial u}{\partial n} - \gamma u = 0, \quad \frac{\partial}{\partial n} = \frac{1}{r} \frac{\partial}{\partial \bar{\varphi}} \quad (7)$$

имеют вид [8]

$$v_n(r, \varphi) = \sum_{m=0}^{n-1} C_m \left( e^{-k_n r \cos[2\Phi m - \bar{\varphi}]} + e^{-k_n r \cos[2\Phi m + \bar{\varphi}]} \right). \quad (8)$$

Постоянные  $C_m$  в (8) находятся явно подстановкой в краевое условие,  $C_0 = 1$ ,

$$C_m = \frac{1}{2} \prod_{k=1}^m \frac{\sin(\Phi[2k-1]) - \gamma/k_n}{\sin(\Phi[2k-1]) + \gamma/k_n}.$$

Собственные функции четные по  $\bar{\varphi}$  и, следовательно, удовлетворяют условию Неймана на оси  $Ox$ . Собственные числа имеют вид

$$E_n^w = -\frac{\gamma^2}{\sin^2(\bar{\Phi}[2n-1])}, \quad k_n = \sqrt{-E_n^w},$$

$n = 1, 2, \dots, N(\bar{\Phi})$ . Их число  $N(\bar{\Phi})$  конечно и зависит от величины раствора клина  $2\bar{\Phi}$ . Если  $\bar{\Phi} \in [\pi/6, \pi/2)$ , то собственное лишь одно  $E_1^w = -\frac{\gamma^2}{\sin^2(\bar{\Phi})}$ ,  $N(\bar{\Phi}) = 1$ . При  $\bar{\Phi} \in [\pi/10, \pi/6)$  их два,  $N(\bar{\Phi}) = 2$ . При переходе значения  $\bar{\Phi}$  через величины  $\frac{\pi}{2} \frac{1}{2k-1}$  ( $k = 2, 3, \dots$ ) число собственных значений изменяется на единицу и  $N(\bar{\Phi}) = \text{ent}\left(\frac{1}{2}\left(\frac{\pi}{2\bar{\Phi}} - 1\right)\right) + 1$  ( $\text{ent}(\cdot)$  – целая часть числа), замечая что функция  $N(\bar{\Phi})$  кусочно постоянна и в точках  $\frac{\pi}{2} \frac{1}{2k-1}$  непрерывна справа. Существенный (непрерывный) спектр задачи заполняет луч  $[-\gamma^2, \infty)$ . Мы используем известную информацию о спектре в этой задаче в дальнейшем.

### §3. ПРЕДСТАВЛЕНИЕ КОНТОРОВИЧА–ЛЕБЕДЕВА (КЛ) ДЛЯ СОБСТВЕННЫХ ФУНКЦИЙ И ЗАДАЧА ДЛЯ ФУНКЦИОНАЛЬНО-РАЗНОСТНОГО УРАВНЕНИЯ

Используем неполное разделение переменных, ищем решение в виде интеграла КЛ ( $\kappa = \sqrt{-E}$ )

$$u^\pm(r, \varphi) = \frac{1}{i\pi} \int_{-i\infty}^{i\infty} \sin \pi \nu K_\nu(\kappa r) u_\nu^\pm(\varphi) d\nu. \quad (9)$$

Подстановкой представлений (9) в уравнения (1), учитывая, что

$$\left\{ \frac{d^2}{dz^2} + \frac{1}{z} \frac{d}{dz} - \left(1 + \frac{\nu^2}{z^2}\right) \right\} K_\nu(z) = 0$$

( $K_\nu$  функция Макдональда) и  $\left(\frac{d^2}{d\varphi^2} + \nu^2\right) u_\nu^\pm(\varphi) = 0$ , формально находим

$$u_\nu^+(\varphi) = H^+(\nu) \frac{\cos(\nu\varphi)}{\cos(\nu\bar{\Phi})}$$

при  $\varphi \in [0, \bar{\Phi}]$  и

$$u_\nu^-(\varphi) = H^-(\nu) \frac{\cos(\nu\bar{\varphi})}{\cos(\nu\bar{\Phi})}$$

при  $\varphi \in [\Phi, \pi]$ ,  $\bar{\Phi} = \pi - \Phi$ ,  $\bar{\varphi} = \pi - \varphi$ . Сходимость интегралов КЛ может быть проверена и вычисления обоснованы, если мы выберем соответствующий задаче класс неизвестных пока мероморфных функций  $H^\pm(\cdot)$ , что мы вскоре и сделаем. Представления (9) принимают вид

$$u^+(r, \varphi) = \frac{1}{i\pi} \int_{-i\infty}^{i\infty} \sin \pi \nu K_\nu(\kappa r) H^+(\nu) \frac{\cos(\nu\varphi)}{\cos(\nu\Phi)} d\nu, \quad \varphi \in [0, \Phi], \quad (10)$$

$$u^-(r, \varphi) = \frac{1}{i\pi} \int_{-i\infty}^{i\infty} \sin \pi \nu K_\nu(\kappa r) H^-(\nu) \frac{\cos(\nu\bar{\varphi})}{\cos(\nu\bar{\Phi})} d\nu, \quad \varphi \in [\Phi, \pi]. \quad (11)$$

Отметим, что краевое условие Неймана (2) выполнено в силу выбора решений  $u_\nu^\pm$ . Подставим представления решений (10), (11) в краевое условие (4), тогда, если

$$H^+(\nu) = H^-(\nu), \quad (12)$$

то это краевое условие будет выполнено. Обратимся к граничному условию (3), имеем

$$\begin{aligned} & \frac{1}{i\pi} \int_{-i\infty}^{i\infty} d\nu \sin \pi \nu \\ & \times \left( \frac{K_\nu(\kappa r)}{\kappa r} \left( H^+(\nu)(-\nu) \tan(\nu\Phi) + H^-(\nu)(-\nu) \tan(\nu\bar{\Phi}) \right) - \frac{\gamma}{\kappa} H^+(\nu) K_\nu(\kappa r) \right) \\ & = \frac{1}{i\pi} \int_{-i\infty}^{i\infty} d\nu \sin \pi \nu \left( -\frac{1}{2} \right) (K_{\nu+1}(\kappa r) - K_{\nu-1}(\kappa r)) \\ & \times H^+(\nu) [\tan(\nu\Phi) + \tan(\nu\bar{\Phi})] - \frac{1}{i\pi} \int_{-i\infty}^{i\infty} d\nu \sin \pi \nu \frac{\gamma}{\kappa} H^+(\nu) = 0, \end{aligned}$$

где мы использовали условие (12) и соотношение

$$\frac{K_\nu(z)}{z} = \frac{K_{\nu+1}(z) - K_{\nu-1}(z)}{2\nu}$$

(см. [18]). Для дальнейшего удобно ввести новую неизвестную

$$D_+(\nu) = H^+(\nu) [\tan(\nu\Phi) + \tan(\nu\bar{\Phi})]. \quad (13)$$

Продолжая преобразование краевого условия (3), получаем ( $\nu \pm 1 \rightarrow \nu$ )

$$\begin{aligned}
& \frac{1}{i\pi} \int_{-i\infty}^{i\infty} d\nu \sin \pi\nu \left(-\frac{1}{2}\right) (K_{\nu+1}(\kappa r) - K_{\nu-1}(\kappa r)) D_+(\nu) \\
& - \frac{1}{i\pi} \int_{-i\infty}^{i\infty} d\nu \sin \pi\nu \frac{\gamma}{\kappa} \frac{D_+(\nu)}{[\tan(\nu\Phi) + \tan(\nu\bar{\Phi})]} \\
& = \frac{1}{i\pi} \int_{-i\infty+1}^{i\infty+1} d\nu \sin \pi\nu \frac{1}{2} K_\nu(\kappa r) D_+(\nu-1) \\
& - \frac{1}{i\pi} \int_{-i\infty-1}^{i\infty-1} d\nu \sin \pi\nu \frac{1}{2} K_\nu(\kappa r) D_+(\nu+1) \\
& - \frac{1}{i\pi} \int_{-i\infty}^{i\infty} d\nu \sin \pi\nu \frac{\gamma}{\kappa} \frac{D_+(\nu)}{[\tan(\nu\Phi) + \tan(\nu\bar{\Phi})]} \\
& = -\frac{1}{2i\pi} \int_{-i\infty}^{i\infty} d\nu \sin \pi\nu K_\nu(\kappa r) \\
& \times \left( D_+(\nu+1) - D_+(\nu-1) + \frac{2\gamma}{\kappa} \frac{D_+(\nu)}{[\tan(\nu\Phi) + \tan(\nu\bar{\Phi})]} \right) = 0,
\end{aligned}$$

где мы деформировали контуры интегрирования на мнимую ось, что оказывается возможным.

В результате, если неизвестная  $D_+$  удовлетворяет уравнению

$$D_+(\nu+1) - D_+(\nu-1) - 2i\Lambda W(\nu)D_+(\nu) = 0, \quad (14)$$

где

$$W(\nu) = \frac{2i}{[\tan(\nu\Phi) + \tan(\nu\bar{\Phi})]}, \quad \Lambda = \frac{\gamma}{2\kappa},$$

то граничное условие (3) выполнено. Легко проверить, что мероморфный потенциал  $W(\cdot)$  является нечетной функцией, с простым полюсом в нуле и асимптотикой

$$W(\nu) = 1 + O(e^{2i\nu\bar{\Phi}})$$

при  $\nu \rightarrow i\infty$  вдоль мнимой оси и  $W(\nu) \geq 0$  при  $\nu \in i\mathbb{R}_+$ .

Заметим, что нелокальный характер функционально-разностного уравнения (14) по переменной  $\nu$  отражает факт неполного разделения переменных в задаче. Теперь естественно ввести класс  $\mathcal{M}$  мероморфных функций  $D_+$ ,

- $D_+(\nu) = D_+(-\nu)$  четная
- $D_+(\cdot)$  голоморфна в полосе  $\Pi(-\varepsilon, \varepsilon) := \{\nu \in \mathbb{C} : -\varepsilon < \Re(\nu) < \varepsilon\}$  для некоторого  $\varepsilon > 0$
- $\sin \pi \nu D_+(\nu - 1)$  голоморфна в полосе  $\Pi(0, 1)$  и непрерывна в ее замыкании
- $\sin \pi \nu D_+(\nu + 1)$  голоморфна в  $\Pi(-1, 0)$  и непрерывна в замыкании этой полосы
- $|D_+(\nu)| < C|e^{i\nu[\pi/2 + \delta_0]}|$ ,  $\nu \rightarrow i\infty$ ,  $\nu \in i\mathbb{R}$  для некоторого  $\delta_0 > 0$

Отметим, что последнее условие выполнено для собственных функций дискретного спектра. Для решений, отвечающих существенному спектру его надо заменить на  $|D_+(\nu)| < C|e^{i\nu\pi/2}\nu^{-\delta_*}|$ ,  $\nu \rightarrow i\infty$ ,  $\nu \in i\mathbb{R}$  для некоторого  $\delta_* \geq 0$ .

Легко проверить, что ввиду оценки

$$K_\nu(z) \sim \text{const} \frac{\nu^{-1/2} \cos(\nu[\pi/2 + |\arg(z)|])}{\sin(\pi\nu)},$$

при  $\nu \rightarrow i\infty$  и  $\Re(\nu) = 0$  для  $|\arg z| \leq \pi/2$ , где  $|z|$  фиксировано, для решений  $D_+$  уравнения (14) из класса  $\mathcal{M}$  интегралы КЛ (10), (11) равномерно сходятся и, более того, наши формально проведенные вычисления вполне обоснованы.

**Лемма 3.1.** *Если  $D_+ \in \mathcal{M}$  и выполнены соотношения (14), (13) и (12), то интегральные представления КЛ (10), (11) удовлетворяют уравнению (1) и краевым условиям (2)–(4) в классическом смысле.*

Заметим, что проверка условия Мейкснера (5) также возможна и вполне аналогична предложенной в [13], в параграфе 5.2.2. Далее мы изучим вопрос существования нетривиальных решений  $D_+$  уравнения (14) для соответствующих характеристических значений  $\Lambda$ , а затем, вычислим асимптотику решений  $u^\pm$  при  $r \rightarrow \infty$ . Оценка (6) в случае дискретного спектра является простым следствием полученной асимптотики. Аналогично исследуется асимптотическое поведение обобщенных собственных функций существенного (непрерывного) спектра.

**3.1. Функционально-разностное уравнение для задаче Робэна в угле.** Для задачи Робэна в угле (см. раздел 2.1) представление КЛ

для решений, удовлетворяющих условию Неймана на  $Ox$  имеет вид

$$u(r, \bar{\varphi}) = \frac{1}{i\pi} \int_{-i\infty}^{i\infty} \sin \pi\nu K_\nu(kr) H(\nu) \frac{\cos(\nu\bar{\varphi})}{\cos(\nu\bar{\Phi})} d\nu, \quad \bar{\varphi} \in [0, \bar{\Phi}],$$

причем

$$D(\nu) = H(\nu) \tan(\nu\bar{\Phi})$$

и

$$D(\nu + 1) - D(\nu - 1) - 2i\Lambda V(\nu)D(\nu) = 0, \quad (15)$$

где

$$V(\nu) = \frac{i}{\tan(\nu\bar{\Phi})}, \quad \Lambda = \frac{\gamma}{k}.$$

Соответствующие вычисления и описание класса функций повторяет изложенные выше. Отметим, что функционально-разностное уравнение (15) второго порядка с мероморфным потенциалом  $V(\nu) = i\cot(\nu\bar{\Phi})$  является прямым аналогом функционально-разностного уравнения Мерилендской модели [19], допускающей эффективное построение решений в квадратурах и их исследование. Это обстоятельство отражает тот факт, что мы смогли найти собственные функции и собственные числа в явной форме (8). Нетрудно получить и явные выражения для  $v_n$  в виде интеграла КЛ, а именно, вычислить  $D = D_n^w$  и  $\Lambda = \Lambda_n^w$ , удовлетворяющие уравнению (15).

Для этого воспользуемся известным интегральным представлением 6.795(1) в [18]

$$e^{-a \cosh(b)} = \frac{2}{\pi} \int_0^\infty dx \cos(bx) K_{ix}(a),$$

$a > 0$ ,  $|\Im b| < \pi/2$ . Представив экспоненты в выражении для  $v_n$  в виде интеграла, после несложных преобразований найдем

$$D_n^w(\nu) = 2 \frac{\sin \bar{\Phi}\nu}{\sin \pi\nu} \sum_{m=0}^{n-1} C_m \cos(2m\bar{\Phi}\nu)$$

и  $\Lambda_n^w = \sin(\bar{\Phi}t_n)$ ,  $t_n = 2n - 1$ ,  $\bar{\Phi}t_n < \pi/2$ .<sup>2</sup> Очевидна следующая оценка

$$|D_n^w(\nu)| < C \left| e^{i\nu[\pi - t_n]} \right|,$$

<sup>2</sup>Непосредственная подстановка выражений для  $D_n^w$  и  $\Lambda_n^w$  в уравнение (15) может служить проверкой их правильности.

при  $\nu \rightarrow i\infty$ ,  $\nu \in i\mathbb{R}$ .

Естественно назвать  $\Lambda_n^w$  характеристическими числами, а  $D_n^w(\nu)$  собственными функциями уравнения. Далее мы придадим точный смысл этим терминам, связав их с некоторым самосопряженным интегральным оператором  $K_w$ .

#### §4. РЕДУКЦИЯ К ИНТЕГРАЛЬНОМУ УРАВНЕНИЮ И СПЕКТРАЛЬНЫЕ СВОЙСТВА ИНТЕГРАЛЬНОГО ОПЕРАТОРА

Наша задача в этом параграфе свести задачу построения решений однородного уравнения (14) к изучению решений интегрального уравнения, связанного с (14). Для этого воспользуемся следующим утверждением (см., например, раздел 1.6.5 в [1, 13]), которое равносильно использованию преобразования Фурье по мнимой оси.

**Лемма 4.1.** Пусть  $q(\nu)$  голоморфна при  $\nu \in \Pi(-\delta, \delta)$  за исключением нуля, где она имеет простой полюс,  $|q(\nu)| \leq c_{He}^{-\kappa|\nu|}$ ,  $|\nu| \rightarrow \infty$ ,  $\kappa > 0$  в этой полосе,  $q(\nu) = -q(-\nu)$ . Тогда четное решение  $s(\nu)$  уравнения

$$s(\nu + 1) - s(\nu - 1) = 2iq(\nu),$$

которое регулярно (голоморфно) в полосе  $\nu \in \Pi(-1 - \delta, 1 + \delta) \setminus \{\pm 1\}$  и экспоненциально убывает при  $|\nu| \rightarrow \infty$  в ней, имеет вид

$$s(\nu) = -\frac{1}{2} \int_{-i\infty}^{i\infty} d\tau q(\tau) \frac{\sin \pi\tau}{\cos \pi\tau + \cos \pi\nu}, \quad \nu \in \Pi(-1 - \delta, 1 + \delta).$$

Воспользуемся этим утверждением, и уравнение (14) преобразуется к

$$D_+(\nu) = -\frac{\Lambda}{2} \int_{-i\infty}^{i\infty} d\tau \frac{W(\tau) \sin \pi\tau}{\cos \pi\tau + \cos \pi\nu} D_+(\tau), \quad \nu \in \Pi(-1, 1). \quad (16)$$

Представление (16) позволяет вычислить  $D_+$  в полосе  $\Pi(-1, 1)$ , если мы нашли  $D_+$  на мнимой оси. Однако, полагая  $\nu \in i\mathbb{R}$  и учитывая четность  $D_+$ , мы приходим к интегральному уравнению

$$D_+(\nu) = -\Lambda \int_0^{i\infty} d\tau \frac{W(\tau) \sin \pi\tau}{\cos \pi\tau + \cos \pi\nu} D_+(\tau), \quad \nu \in i\mathbb{R}_+. \quad (17)$$

Решив уравнение (17), продолжим его решение по четности на мнимую ось, а затем с помощью (16) в полосу  $\Pi(-1, 1)$  как голоморфную функцию. Использование (14) позволяет продолжить решение этого уравнения как мероморфную функцию на всей комплексной плоскости.

Теперь мы обратимся к существованию нетривиальных решений интегрального уравнения (17) для некоторых  $\Lambda$ . Предварительно преобразуем интегральное уравнение к более удобному виду с самосопряженным интегральным оператором. Введем

$$\mathcal{D}(\nu) = \frac{D_+(\nu)}{\sqrt{W(\nu)}}, \quad \nu \in i\mathbb{R}_+,$$

тогда

$$\mathcal{D}(\nu) + \Lambda \int_0^{i\infty} d\tau \frac{\sqrt{W(\nu)W(\tau)} \sin \pi\tau}{\cos \pi\tau + \cos \pi\nu} \mathcal{D}(\tau) = 0, \quad \nu \in i\mathbb{R}_+. \quad (18)$$

Введем новую неизвестную и новые переменные в (18)

$$x = \frac{1}{\cos \pi\nu}, \quad y = \frac{1}{\cos \pi t}, \quad \frac{dy}{\pi} = \frac{\sin \pi t}{\cos^2 \pi t} dt,$$

$$\rho(x) = \cos \pi\nu \mathcal{D}(\nu)|_{x=\frac{1}{\cos \pi\nu}},$$

$x, y \in [0, 1]$ ,

$$\rho(x) - \frac{\Lambda}{\pi} \int_0^1 dy \frac{\sqrt{v(x)v(y)}}{x+y} \rho(y) = 0, \quad (19)$$

где

$$v(y) = W(t)|_{y=\frac{1}{\cos \pi t}}$$

и

$$v(y) = 1 + O(y^b)y \rightarrow 0, \quad b = \frac{2\bar{\Phi}}{\pi} < 1, \quad v(y) = O(1/\sqrt{1-y}), \quad y \rightarrow 1-0.$$

Интегральный оператор  $K$  в интегральном уравнении (19) ограничен  $\|K\| \leq V^*$ , самосопряжен в  $L_2(0, 1)$  и положителен,<sup>3</sup>

$$(K\rho)(x) = \frac{1}{\pi} \int_0^1 dy \frac{\sqrt{v(x)v(y)}}{x+y} \rho(y).$$

<sup>3</sup>Этот оператор относится к известным в литературе операторам Ханкеля.

Характеристический параметр  $\Lambda$  связан со спектральным параметром  $\lambda = \Lambda^{-1}$ ,  $K\rho = \lambda\rho$ .

**4.1. Интегральное уравнение для задачи Робэна в угле и спектр интегрального оператора.** Легко провести аналогичную редукцию функционально-разностного уравнения (15) к интегральному,

$$x = \frac{1}{\cos \pi\nu}, \quad y = \frac{1}{\cos \pi t}, \quad \frac{dy}{\pi} = \frac{\sin \pi t}{\cos^2 \pi t} dt,$$

$$s(x) = \cos \pi\nu D(\nu)|_{x=\frac{1}{\cos \pi\nu}},$$

$x, y \in [0, 1]$ ,

$$s(x) - \frac{\Lambda}{\pi} \int_0^1 dy \frac{\sqrt{v_w(x)v_w(y)}}{x+y} s(y) = 0, \quad (20)$$

где

$$v_w(y) = V(t)|_{y=\frac{1}{\cos \pi t}}.$$

Собственные функции и собственные числа оператора

$$(K_w s)(x) := \frac{1}{\pi} \int_0^1 dy \frac{\sqrt{v_w(x)v_w(y)}}{x+y} s(y)$$

имеют вид

$$d_n(x) = \cos \pi\nu D_n^w(\nu)|_{x=\frac{1}{\cos \pi\nu}}, \quad \lambda_n^w = [\Lambda_n^w]^{-1} = \frac{1}{\sin(\bar{\Phi}t_n)},$$

$$t_n = 2n - 1, \quad \bar{\Phi}t_n < \pi/2.$$

Из явного выражения для  $D_n^w$  следует, что  $d_n \in L_2(0, 1)$ . Отметим, что дискретный спектр  $\sigma_d(K_w)$  оператора  $K_w$  конечен и состоит из  $N(\bar{\Phi})$  собственных чисел  $\lambda_n^w \in \left(1, \frac{1}{\sin(\bar{\Phi})}\right]$ ,  $n = 1, 2, \dots, N(\bar{\Phi})$ , собственные числа занумерованы в порядке убывания их величины. С уменьшением раствора клина  $2\bar{\Phi}$  их число  $N(\bar{\Phi})$  неограниченно возрастает. Существенный (непрерывный) спектр  $\sigma_e(K_w)$  совпадает с отрезком  $[0, 1]$ . Соответствующие собственные функции непрерывного спектра также могут быть выписаны явно.

**4.2. Спектр и собственные функции интегрального оператора  $K$ .** Изучение спектра интегрального оператора  $K$  требует дополнительных усилий, хотя его структура вполне аналогична структуре спектра оператора  $K_w$ . Для этого удобно представить оператор в виде

$$K = K_d + [K - K_d],$$

где<sup>4</sup>

$$(K_d s)(x) := \frac{1}{\pi} \int_0^1 dy \frac{s(y)}{x+y}$$

оператор Диксона (см. раздел 11.18 в [21] и [20]),

$$([K - K_d]\rho)(x) = \frac{1}{\pi} \int_0^1 dy \frac{\sqrt{v(x)v(y)} - 1}{x+y} \rho(y).$$

Оператор Диксона представляет собой явно решаемую модель. Его спектр представляет собой отрезок существенного спектра  $\sigma(K_d) = [0, 1]$ . Действительно, основываясь на явном выражении резольвенты оператора Диксона, можно построить спектральную меру самосопряженного оператора  $K_d$ , интегрируя по контуру в комплексной плоскости [1], см. приложение. Для любого  $\mu \in [0, 1]$  явно строится сингулярная вейлевская последовательность [2], гл.9, поэтому существенный спектр  $\sigma_e(K_d)$  оператора Диксона совпадает с отрезком  $[0, 1]$ .

Заметим теперь, что оператор  $[K - K_d]$  вполне непрерывен в  $L_2(0, 1)$ , так как является оператором Гильберта–Шмидта ввиду оценок

$$|v(x)v(y) - 1| = O(x^b + y^b), \quad x, y \rightarrow 0,$$

$$\sqrt{v(x)v(y)} = O\left((1-x)^{-\frac{1}{4}}(1-y)^{-\frac{1}{4}}\right), \quad x \rightarrow 1-0, y \rightarrow 1-0.$$

Используя теорему Вейля об устойчивости существенного спектра при компактных возмущениях, мы можем утверждать, что существенный спектр оператора  $K$  совпадает с отрезком  $[0, 1]$ ,  $\sigma_e(K) = [0, 1]$ .

Обратимся к существованию дискретной компоненты  $\sigma_d(K) \subset [1, V^*]$ , т.е. к существованию нетривиальных решений  $\rho_m \in L_2(0, 1)$  и  $\lambda_m$  таких, что

$$K\rho_m = \lambda_m\rho_m.$$

<sup>4</sup>Такое разбиение использовалось в задаче дифракции на импедансном конусе [20].

Мы установим непустоту дискретной компоненты спектра, используя принцип минимакса [2], если покажем, что существует такое  $\rho \in L_2(0, 1)$  и  $d > 0$ , что

$$\frac{(K\rho, \rho)}{(\rho, \rho)} \geq 1 + d.$$

В качестве тестовой функции возьмем

$$h(x) = [v(x)]^{-1/2}.$$

Нормируем ее  $\rho(x) = \frac{h(x)}{\|h(x)\|}$ ,  $\|h(x)\|^2 = \int_0^1 \frac{dx}{v(x)}$ . Тогда

$$(K\rho, \rho) = \frac{1}{\pi \|h(x)\|^2} \int_0^1 dx \int_0^1 dy \frac{1}{x+y} = \frac{2 \log 2}{\pi \int_0^1 \frac{dx}{v(x)}}.$$

Предположим теперь, что

$$\frac{2 \log 2}{\pi} > \int_0^1 \frac{dx}{v(x)}, \quad (21)$$

тогда

$$(K\rho, \rho) > 1.$$

Условие на потенциал  $v(x)$  запишем в виде

$$\pi \int_0^\infty \frac{dt}{\cosh^2(\pi t)} \frac{\sinh(\pi t)}{W(it)} < \frac{2 \log 2}{\pi}.$$

Последнее условие может быть проверено численно. Оказывается, что оно выполнено только если  $\bar{\Phi}$  достаточно мало и, значит, дискретный спектр  $K$  не пуст. Стоит отметить, однако, что условие (21) на потенциал является достаточным. В действительности, дискретный спектр не пустой для всех  $\Phi \in (\pi/2, \pi)$ , что следует из результатов непустоты дискретного спектра в исходной задаче для оператора  $A$ , [5].

Обсудим теперь конечность дискретного спектра для оператора  $K$ . Для этого сравним его с оператором  $K_w$ , который имеет конечный спектр. Последнее следует из конечности спектра оператора  $A_w$  в задаче Робэна для угла. Ввиду неравенства для потенциалов

$$\frac{2i}{[\tan(\nu\Phi) + \tan(\nu\bar{\Phi})]} \leq \frac{i}{\tan(\nu\bar{\Phi})}$$

и  $W(\nu) \leq V(\nu)$ , заключаем

$$0 \leq K \leq K_w.$$

Используя вариационный принцип и его следствия [2], заключаем, что для функций распределения собственных значений справедливо неравенство

$$\pi_K(\lambda) \leq \pi_{K_w}(\lambda), \quad \lambda \geq 1,$$

а также аналогичные неравенства для собственных чисел  $\lambda_m(K) \leq \lambda_m(K_w) = \frac{1}{\sin(\Phi t_m)}$ . Отсюда следует конечность дискретного спектра оператора  $K$ , а также справедлива

**Лемма 4.2.** При  $\bar{\Phi} \in (0, \pi/2)$  спектр оператора  $K$  состоит из существенного спектра  $\sigma_e(K) = [0, 1]$  и конечной дискретной части  $\sigma_d(K) = \cup_m \lambda_m(K) \subset \left(1, \frac{1}{\sin(\bar{\Phi})}\right]$ .

## §5. О МЕРОМОРФНЫХ РЕШЕНИЯХ УРАВНЕНИЯ (14)

Используя соотношение

$$D_+(\nu) = \frac{\sqrt{W(\nu)}}{\cos \pi \nu} \rho(x)|_{x=\frac{1}{\cos \pi \nu}},$$

а также описанную процедуру мероморфного продолжения  $D_+$  на всю комплексную плоскость, мы получаем из (13)

$$H^+(\nu) = \frac{D_+(\nu)}{[\tan(\nu\Phi) + \tan(\nu\bar{\Phi})]}$$

искомую неизвестную в представлении КЛ.

Принадлежность  $D_+$  классу  $\mathcal{M}$  следует из наших построений. Наиболее содержательной является проверка оценки

$$|D_+(\nu)| < C \left| e^{i\nu[\pi-\tau]} \right|,$$

$\nu \rightarrow i\infty$ ,  $\nu \in i\mathbb{R}$  и при некоторых  $\tau$ ,  $\Re \tau \in (0, \pi/2]$ . Введем параметризацию для характеристического параметра

$$\Lambda_m = \sin \tau_m, \quad \tau_m \in (0, \pi/2)$$

если  $\lambda_m = (\Lambda_m)^{-1} \in \sigma_d(K) \subset (1, 1/\sin \bar{\Phi}]$  и

$$\Lambda = \sin \tau, \quad \tau = \pi/2 + it, \quad t \geq 0,$$

если  $\lambda = (\Lambda)^{-1} \in \sigma_e(K) = [0, 1]$ .

Собственные решения  $D_{+,m}(\nu)$  уравнения (14) при  $\Lambda_m = \sin \tau_m$  таковы, что  $(\rho_m \in L_2(0, 1))$

$$\int_0^{i\infty} |H_m^+(\nu)|^2 |\sin(\pi\nu)W(\nu)| |d\nu| < \infty, \quad (22)$$

и допускают оценку

$$|D_{+,m}(\nu)| < C \left| e^{i\nu[\pi - \tau_m]} \right|,$$

$\nu \rightarrow i\infty$ ,  $\nu \in i\mathbb{R}$ . Эта оценка может быть получена следующим образом. Используем преобразование Фурье по мнимой оси

$$F_m(\alpha) = \frac{1}{i} \int_{i\mathbb{R}} D_{+,m}(\nu) e^{i\nu\alpha} d\nu,$$

где, принимая во внимание оценку (22),  $F_m(\cdot)$  голоморфна в полосе  $\Pi_{\pi/2}$  и четная. Применим преобразование Фурье уравнению (14) при  $\Lambda_m = \sin \tau_m$  и после некоторых вычислений получим

$$F_m(\alpha) = \frac{-\sin \tau_m}{\sin \alpha - \sin \tau_m} \frac{v.p.}{i} \int_{i\mathbb{R}} [W(\nu) + 1] D_{+,m}(\nu) e^{i\nu\alpha} d\nu.$$

Можно показать, что интеграл в последней формуле голоморфен в полосе  $\alpha \in \Pi(-\pi + \tau_m - d, \pi - \tau_m + d)$  для  $d > 0$ , что требует некоторой работы. Очевидно, что ближайший к мнимой оси полюс  $F_m(\cdot)$  расположен в точке  $\pi - \tau_m$  и, в силу четности, в  $-\pi + \tau_m$ . Используя обратное преобразование Фурье, приходим к требуемой оценке. Вполне аналогично, при  $\Lambda = \sin \tau$  и  $\tau = \pi/2 + it$ ,  $t \geq 0$  получаем

$$|D_+(\nu)| < C \left| e^{i\nu[\pi - \tau]} \right| = \left| e^{i\nu\pi/2} \right|, \quad |H^+(\nu)| < C \left| \frac{1}{\sin \nu[\pi - \tau]} \right|,$$

$\nu \rightarrow i\infty, \quad \nu \in i\mathbb{R}.$ <sup>5</sup>

## §6. АСИМПТОТИКА СОБСТВЕННЫХ ФУНКЦИЙ НА БОЛЬШИХ РАССТОЯНИЯХ

Мы убедились в существовании собственных функций и получили их интегральное представление КЛ

$$u_m^+(r, \varphi) = \frac{1}{i\pi} \int_{-i\infty}^{i\infty} \sin(\pi\nu) K_\nu(\kappa_m r) H_m^+(\nu) \frac{\cos(\nu\varphi)}{\cos(\nu\Phi)} d\nu, \quad \varphi \in [0, \Phi], \quad (23)$$

$$u_m^-(r, \varphi) = \frac{1}{i\pi} \int_{-i\infty}^{i\infty} \sin(\pi\nu) K_\nu(\kappa_m r) H_m^-(\nu) \frac{\cos(\nu\bar{\varphi})}{\cos(\nu\bar{\Phi})} d\nu, \quad \bar{\varphi} \in [0, \bar{\Phi}], \quad (24)$$

где  $m$  произвольно фиксировано,

$$\kappa_m = \sqrt{-E_m} = \frac{\gamma}{2 \sin \tau_m}.$$

Аналогичное представление справедливо для функций непрерывного спектра,  $\kappa = \sqrt{-E} = \frac{\gamma}{2 \sin \tau}$ ,  $\tau = \pi/2 + it$ ,  $t \geq 0$ .

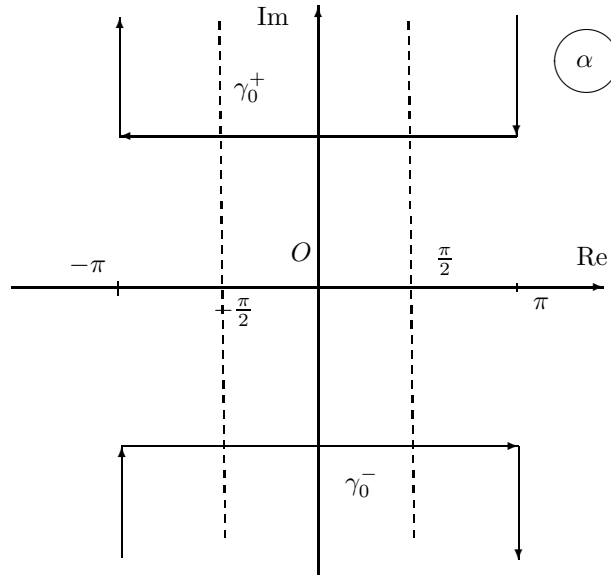


Рис. 2. Контур Зоммерфельда  $\gamma_0 = \gamma_0^+ \cup \gamma_0^-$ .

Использование асимптотики функции Макдональда при  $\kappa_m r \rightarrow \infty$

$$K_\nu(\kappa r) = \sqrt{\frac{\pi}{2}} \frac{\exp(-\kappa r)}{\sqrt{\kappa r}} (1 + O(1/[\kappa r]))$$

не приведет к искомой асимптотике собственной функции, так как интегралы в (23),(24) окажутся расходящимися. В связи с этим, приходится действовать более изощренно, а именно, перейти к так называемому интегральному представлению Зоммерфельда.

**6.1. Интегралы Зоммерфельда и свойства трансформант Зоммерфельда.** Воспользуемся представлением Зоммерфельда для функции Макдональда в (23), (24)

$$K_\nu(z) = \frac{1}{4i} \int_{\gamma_0} e^{z \cos \alpha} \frac{\sin(\nu \alpha)}{\sin(\pi \nu)} d\alpha, \quad \Re z > 0,$$

где контур интегрирования  $\gamma_0$  состоит из двух петель, Рис. 2. Переставим порядки интегрирования, что может быть обосновано. Получим

$$u_m^\pm(r, \varphi) = \frac{1}{2\pi i} \int_{\gamma_0} d\alpha e^{\kappa_m r \cos \alpha} F_m^\pm(\alpha, \varphi), \quad (25)$$

где

$$\begin{aligned} F_m^+(\alpha, \varphi) &= \frac{1}{2i} \int_{-i\infty}^{i\infty} \sin(\nu \alpha) H_m^+(\nu) \frac{\cos(\nu \varphi)}{\cos(\nu \Phi)} d\nu = f_m^+(\alpha + \varphi) + f_m^+(\alpha - \varphi), \\ f_m^+(\alpha) &= \frac{1}{4i} \int_{-i\infty}^{i\infty} H_m^+(\nu) \frac{\sin(\nu \alpha)}{\cos(\nu \Phi)} d\nu = \frac{v.p.}{4i} \int_{-i\infty}^{i\infty} H_m^+(\nu) \frac{e^{i\nu \alpha}}{i \cos(\nu \Phi)} d\nu \end{aligned} \quad (26)$$

и

$$\begin{aligned} F_m^-(\alpha, \varphi) &= \frac{1}{2i} \int_{-i\infty}^{i\infty} \sin(\nu \alpha) H_m^-(\nu) \frac{\cos(\nu \bar{\varphi})}{\cos(\nu \bar{\Phi})} d\nu = f_m^-(\alpha + \bar{\varphi}) + f_m^-(\alpha - \bar{\varphi}), \\ f_m^-(\alpha) &= \frac{1}{4i} \int_{-i\infty}^{i\infty} H_m^-(\nu) \frac{\sin(\nu \alpha)}{\cos(\nu \bar{\Phi})} d\nu. \end{aligned} \quad (27)$$

Отметим, что эти представления (25), (26), (27) справедливы и для функций непрерывного спектра, т. е. с заменой  $\kappa_m \rightarrow \kappa = \gamma/(2 \sin \tau)$ ,  $\tau = \pi/2 + it$ ,  $t \geq 0$ . В силу установленных оценок для  $H^\pm$ , нечетные

мероморфные функции  $f^\pm$  голоморфны соответственно в основных полосах  $\Pi_{\pi+\Phi-\Re\tau} := \Pi(-[\pi - \Re\tau + \Phi], \pi - \Re\tau + \Phi)$  для  $+$  и  $\Pi_{\pi+\bar{\Phi}-\tau} := \Pi(-[\pi - \Re\tau + \bar{\Phi}], \pi - \Re\tau + \bar{\Phi})$  для  $-$ . Для дискретного спектра надо заменить  $\tau \rightarrow \tau_m$ .

Интеграл Зоммерфельда

$$\begin{aligned} u^\pm(r, \varphi) &= \frac{1}{2\pi i} \int_{\gamma_0} d\alpha e^{\kappa r \cos \alpha} (f^\pm(\alpha + \varphi^\pm) + f^\pm(\alpha - \varphi^\pm)) \\ &= \frac{1}{\pi i} \int_{\gamma_0} d\alpha e^{\kappa r \cos \alpha} f^\pm(\alpha + \varphi^\pm), \end{aligned} \quad (28)$$

(здесь  $\varphi^+ := \varphi$ ,  $\varphi^- := \bar{\varphi} = \pi - \varphi$ ) хорошо приспособлен к вычислению асимптотики при  $\kappa r \rightarrow \infty$  и является решением уравнения (1). Действительно, деформируя контур интегрирования  $\gamma_0$  в перевальные  $\gamma_0^\pi = \{\alpha : \Re\alpha = \pi\}$  и  $\gamma_0^{-\pi} = \{\alpha : \Re\alpha = -\pi\}$ , пересекая особенности трансформант Зоммерфельда  $f^\pm$ , т.е. полюсы. Вклад от полюсов, а также от точек перевала  $\pm\pi$ , определяет асимптотику интегралов Зоммерфельда [8]. (Заметим, что точки перевала решают уравнение  $(\cos \alpha)' = 0$ .) В связи с этим, принципиальное значение имеет вычисление полюсов трансформант  $f^\pm$ . Для этого, подставляя представления (28) в краевые условия, мы выведем функциональные уравнения (Малюжинца) для трансформант, которые голоморфны в указанных выше полосах и допускают мероморфное продолжение на всю комплексную плоскость.

**Лемма 6.1.** Пусть нечетные функции  $f^\pm$ , определенные равенствами (26), (27) в основных полосах  $\Pi_{\pi+\Phi-\Re\tau}$ ,  $\Pi_{\pi+\bar{\Phi}-\Re\tau}$  соответственно, ограничены в этих полосах и аналитически продолжаются на комплексную плоскость как мероморфные функции. Тогда, если  $f^\pm$  удовлетворяют функциональным уравнениям (Малюжинца)

$$\begin{aligned} (\sin \alpha - \sin \tau) f^+(\alpha + \Phi) - (\sin \alpha + \sin \tau) f^+(\alpha - \Phi) \\ = -(\sin \alpha - \sin \tau) f^-(\alpha + \bar{\Phi}) + (\sin \alpha + \sin \tau) f^-(\alpha - \bar{\Phi}), \end{aligned} \quad (29a)$$

$$f^+(\alpha + \Phi) + f^+(\alpha - \Phi) = f^-(\alpha + \bar{\Phi}) + f^-(\alpha - \bar{\Phi}), \quad (29b)$$

то представления Зоммерфельда (28) удовлетворяют краевым условиям (3), (4) в классическом смысле.

Заметим, что условие Неймана (2) выполнено в силу четности интеграла по  $\varphi$ . Проверка этого утверждения вполне традиционна и сводится к подстановке в краевые условия, интегрировании по частям, если необходимо, а также с учетом того, что интеграл  $\frac{1}{4\pi i} \int_{\gamma_0} d\alpha S(\alpha)$  в указанном классе функций обращается в ноль, если четная часть подынтегрального выражения  $\{S(\alpha)\}$  равна нулю,  $S(\alpha) - S(-\alpha) = 0$ , [15].

Систему функциональных уравнений Малюжинца (29a), (29b) удобно переписать в виде

$$\begin{pmatrix} f^+(\alpha + \Phi) \\ f^-(\alpha + \bar{\Phi}) \end{pmatrix} = \begin{pmatrix} \frac{\sin \tau}{\sin \alpha - \sin \tau} & \frac{\sin \alpha}{\sin \alpha - \sin \tau} \\ \frac{\sin \alpha}{\sin \alpha - \sin \tau} & \frac{\sin \tau}{\sin \alpha - \sin \tau} \end{pmatrix} \begin{pmatrix} f^+(\alpha - \Phi) \\ f^-(\alpha - \bar{\Phi}) \end{pmatrix}, \quad (30)$$

что позволяет продолжить  $f^\pm$  из основных полос на комплексную плоскость как мероморфные функции. Более того, несложно найти ближайшие к мнимой оси полюсы трансформант, которые и могут дать основной вклад в асимптотику для некоторых направлений  $\varphi$  при  $k\tau \rightarrow \infty$ . Действительно, записав первое уравнение в (30) в виде

$$f^+(\alpha + 2\Phi) = \frac{\sin \tau}{\sin(\alpha + \Phi) - \sin \tau} f^+(\alpha) - \frac{\sin(\alpha + \Phi)}{\sin(\alpha + \Phi) - \sin \tau} f^-(\alpha + \Phi - \bar{\Phi}),$$

нетрудно установить, что ближайшие к мнимой оси полюсы трансформанты  $f^+$  находятся на границе полосы ее голоморфности при  $\alpha = \pm a^+$ ,  $a^+ = (\pi + \Phi - \tau)$ . Если  $\tau = \tau_m$ , то это полюсы вещественные, а иначе  $\tau = \pi/2 + it$ ,  $t \geq 0$  для непрерывного спектра. Аналогично, для  $f^-$  ближайшие к мнимой оси полюсы расположены в  $\alpha = \pm a^-$ ,  $a^- = (\pi + \bar{\Phi} - \tau)$ . При деформации контура Зоммерфельда в перевальные, вообще говоря, могут быть захвачены и другие полюсы. Однако, старший вклад в асимптотику дают полюса ближайшие к мнимой оси, которые мы также назовем главными. Как мы установим далее для собственных функций дискретного спектра ( $\tau = \tau_m$ ), в области  $\Omega_+$  есть направления, для которых старший вклад определяется точками перевала и, тем самым, главные полюсы  $f^+$  не захватываются и не дают вклада в асимптотику. С другой стороны, для собственных функций непрерывного спектра ( $\tau = \pi/2 + it$ ) полюсы  $\alpha = \pm(\pi + \bar{\Phi} - \tau)$  всегда захватываются и определяют старший член асимптотики собственной функции. В окрестности главных полюсов имеем

$$f^+(\alpha) = \frac{A^+}{\alpha - a^+} + \dots, \quad f^-(\alpha) = \frac{A^-}{\alpha - a^-} + \dots, \quad (31)$$

где  $A^\pm = \text{res}_{\alpha=a^\pm} \{f^\pm(\alpha)\}$ , а точки означают регулярную часть.

**6.2. Асимптотика собственных функций.** Пусть  $\tau = \pi/2 + it$ ,  $t \geq 0$  и  $E = -\frac{\gamma^2}{4 \sin^2 \tau} \in [-\gamma^2/4, 0)$  принадлежит отрицательному непрерывному спектру, тогда деформируя контур Зоммерфельда в перевальные, для обобщенных собственных функций находим старший член асимптотики

$$u^+(r, \varphi) = 2A^+ e^{-\frac{\gamma}{2 \sin \tau} r \cos[\Phi - \varphi - \tau]} (1 + o(1)), \quad (32)$$

$$u^-(r, \varphi) = 2A^- e^{-\frac{\gamma}{2 \sin \tau} r \cos[\bar{\Phi} - \bar{\varphi} - \tau]} (1 + o(1)), \quad (33)$$

где учтено, что  $\kappa(\tau) = \frac{\gamma}{2 \sin \tau}$ .

Очевидно, что  $\cos[\dots]$  в асимптотике (32), (33) является чисто вещественным на границе  $l$ , разделяющей области  $\Omega_+$  и  $\Omega_-$ , а экспоненты ограничены, не убывают по  $\kappa r$ , так как  $\cos[\Phi - \varphi - \tau] = \sin(\Phi - \varphi) \cosh(t) - i \cos(\Phi - \varphi) \sinh(t)$ . Для остальных направлений, экспоненты убывают при  $\kappa r \rightarrow \infty$ . Это означает, что в асимптотическом смысле собственные функции непрерывного спектра сосредоточены в окрестности носителя сингулярного потенциала на больших расстояниях.

Вычисление асимптотики собственных функций дискретного спектра ( $\tau = \tau_m$ ,  $E = -\frac{\gamma^2}{4 \sin^2 \tau_m} < -\gamma^2/4$ ) требует выделения окрестности так называемых сингулярных направлений в  $\Omega_+$  и  $\Omega_-$ , которые отвечают слиянию полюса и точки перевала при изменении угла  $\varphi$ . Это слияние оказывается возможным, так как полюсы расположены на вещественной оси и смещаются вдоль оси при вариации  $\varphi$ . Вне окрестности сингулярных направлений, асимптотика в старшем порядке описывается либо вкладом соответствующего полюса, либо вкладом точек перевала, и описывается разными, но элементарными выражениями. В окрестности сингулярных направлений роль переходной функции, отвечающей за 'переключение' асимптотического поведения собственной функции, играет интеграл Френеля.

Если обсуждать вклад в асимптотику главных полюсов, то стоит различать для области  $\Omega_+$  две ситуации. В первом случае направление  $\varphi$  таково, что либо главный полюс захвачен и находится вне окрестности точки перевала  $\pi$

$$\pi - (a_m^+ - \varphi) \geq \frac{\text{const}}{(\kappa_m r)^{1/2 - \epsilon}} > 0$$

либо когда главный полюс не захватывается при деформации контура в перевальные и расположен вне узкой окрестности точки перевала

$$-\pi + (a_m^+ - \varphi) \geq \frac{\text{const}}{(\kappa_m r)^{1/2-\epsilon}} > 0.$$

Во втором случае

$$|\pi - (a_m^+ - \varphi)| \leq \frac{\text{const}}{(\kappa_m r)^{1/2-\epsilon}},$$

$\varphi$  таково, что главный полюс находится в асимптотически малой окрестности точки перевала.

В первом случае при деформации контура в перевальные вклад главного полюса дает

$$u_m^+(r, \varphi) = 2A_m^+ e^{-\kappa_m r \cos[\Phi - \varphi - \tau_m]} + \delta u_m^+, \quad (34)$$

тогда как седловая точка отвечает за поправочный член

$$\delta u_m^+ = O\left(\frac{e^{-\kappa_m r}}{\sqrt{\kappa_m r}}\right),$$

если другие полюсы трансформанты не захвачены. Однако, если захватываются и следующий полюс, то именно его вклад определяет поправку  $\delta u_m^+$  в (34).<sup>6</sup>

С другой стороны, если полюсы  $f_m^+(\alpha + \varphi)$  находятся вне полосы  $\alpha \in \Pi_\pi$ , то есть  $\varphi$  таково, что  $\pi < a_m^+ - \varphi$  и  $-\pi > -a_m^+ - \varphi$ , основной вклад в асимптотику собственной функции определяется седловыми точками  $\pm\pi$

$$u_m^+(r, \varphi) = 2[f_m^+(-\pi + \varphi) - f_m^+(\pi + \varphi)] \frac{e^{-\kappa_m r}}{\sqrt{2\pi\kappa_m r}} \left(1 + O\left(\frac{1}{\kappa_m r}\right)\right). \quad (35)$$

Рассмотрим теперь второй случай, главный полюс расположен в узкой окрестности точки перевала. Мы лишь кратко наметим соответствующие вычисления. В малой круговой окрестности  $B_\pi([\kappa r]^{-1/2+\epsilon})$  точки перевала  $\pi$  аппроксимируем  $\cos \alpha$  в экспоненте интеграла (28) для  $u_m^+$ ,  $\cos \alpha = -1 + \frac{1}{2}(\alpha - \pi)^2 + \dots$  и используем новую переменную

<sup>6</sup>Если этот следующий полюс находится в асимптотически малой окрестности точки перевала, то эта угловая область определяет аналогичную окрестность сингулярного направления для данного полюса.

интегрирования  $t = e^{i\pi/2}(\alpha - \pi)$ . Имеем

$$\begin{aligned} & \frac{A_m^+}{\pi i} \int_{\gamma_0^\pi \cap B_\pi([\kappa_m r]^{-1/2+\epsilon})} d\alpha \frac{e^{\kappa_m r \cos \alpha}}{(\alpha + \varphi) - a_m^+} \\ &= \frac{A_m^+ e^{-\kappa_m r}}{\pi i} \int_{-\infty}^{\infty} dt \frac{e^{-\frac{1}{2}\kappa_m r t^2}}{(t - i[(a_m^+ - \varphi) - \pi])} \left(1 + O([\kappa_m r]^{-1/2+\epsilon})\right), \end{aligned}$$

где пределы интегрирования заменены на  $\pm\infty$ , что дает экспоненциально малую относительную ошибку при  $\kappa_m r \rightarrow \infty$ . Заметим, что, если полюс знаменателя находится в верхней полуплоскости переменной  $t$ , контур интегрирования проходит по вещественной оси. Однако, если  $i[(a_m^+ - \varphi) - \pi]$  в нижней полуплоскости, то контур охватывает его снизу. Полученный интеграл выражается в терминах интеграла Френеля в соответствии с разделом 6.3.1 в [16]

$$\Psi(z; s) := \int_{-\infty}^{\infty} dt \frac{e^{-zt^2}}{(z - s)} = \pi i e^{-s^2 z} [1 - \mathcal{F}(-is\sqrt{z})]$$

где  $\mathcal{F}(\zeta) = \frac{2}{\sqrt{\pi}} \int_0^\zeta e^{-t^2} dt$ .

В итоге, из (35) находим для окрестности сингулярных направлений

$$u_m^+(r, \varphi) = \frac{A_m^+ e^{-\kappa_m r}}{\pi i} \Psi\left(\frac{1}{2}\kappa_m r; i[(\Phi - \varphi) - \tau_m]\right) + \delta u^\pm(r, \varphi), \quad (36)$$

причем поправка  $\delta u^\pm(r, \varphi) = O\left(\frac{e^{-\kappa_m r} \Psi}{[\kappa_m r]^{1/2-\epsilon}}\right)$ .

Изучение асимптотики собственной функции в области  $\Omega_-$  вполне аналогично предложенному выше для  $\Omega_+$ . В области  $\Omega_-$ , где  $\pi - (a_m^- - \bar{\varphi}) \geq \frac{\text{const}}{(\kappa_m r)^{1/2-\epsilon}} > 0$ , вычет в главном полюсе  $a_m^- - \bar{\varphi}$  дает основной вклад

$$u_m^-(r, \varphi) = 2A_m^- e^{-\kappa_m r \cos[\bar{\Phi} - \bar{\varphi} - \tau_m]} (1 + o(1)). \quad (37)$$

Поправочный член в (37) определяется либо вкладом следующего полюса, если он захвачен при деформации контура в перевальные, либо вкладом точек перевала в противном случае.

Старший член асимптотики определяется вкладом точек перевала и имеет вид

$$u_m^-(r, \varphi) = 2[f_m^-(-\pi + \bar{\varphi}) - f_m^-(\pi + \bar{\varphi})] \frac{e^{-\kappa_m r}}{\sqrt{2\pi\kappa_m r}} \left( 1 + O\left(\frac{1}{\kappa_m r}\right) \right), \quad (38)$$

если полюсы не захватываются, то есть  $\pi < (a_m^- - \bar{\varphi}) + \frac{\text{const}}{(\kappa_m r)^{1/2-\epsilon}}$ ,  $-\pi > -(a_m^- + \bar{\varphi}) + \frac{\text{const}}{(\kappa_m r)^{1/2-\epsilon}}$ . Если старший полюс может находиться в асимптотически малой окрестности порядка  $O\left(\frac{1}{\kappa_m r}\right)$  точки перевала, то старший член асимптотики выражается в терминах интеграла Френеля. Отметим, что конкретная реализация асимптотического поведения собственной функции, т. е. (34), (35) или (36) для  $\Omega_+$  или (37), (38) для  $\Omega_-$ , зависит от величины  $\tau_m$  и, следовательно, в конце концов определяется значением  $\Phi \in (\pi/2, \pi)$ .

#### СПИСОК ЛИТЕРАТУРЫ

1. M. A. Lyalinov, *Functional difference equations and eigenfunctions of a Schrödinger operator with  $\delta'$ -interaction on a circular conical surface*. — Proc. Royal Soc. A, V. **476** (2020) 20200179, 2020. <http://dx.doi.org/10.1098/rspa.2020.0179>
2. M. Sh. Birman, M. Z. Solomjak, *Spectral theory of selfadjoint operators in Hilbert spaces*. — Dordrecht, Holland (1987).
3. T. Kato *Perturbation theory for linear operators*. — Springer-Verlag, Berlin (1995).
4. P. Exner, *Leaky quantum graphs: a review*. In: *Analysis on graphs and its applications*. — Proc. Sympos. Pure Math., Amer. Math. Soc., Providence, RI., **77** (2008), 523–565.
5. B. Behrndt, P. Exner, V. Lotoreichik, *Schrödinger operators with  $\delta$ - and  $\delta'$ -interactions on Lipschitz surfaces and chromatic numbers of associated partitions*. — Reviews Math. Phys., **26**(08) (2014), 1450015–1450058. DOI: 10.1142/S0129055X14500159.
6. M. Khalile, K. Pankrashkin *Eigenvalues of Robin Laplacians in infinite sectors*. — Math. Nachrichten (2018) 928–965. DOI: 10.1002/mana.201600314
7. V. M. Babich, *A class of topographical waveguides*. — St. Petersburg Math. J., **22** (2011), 73–79.
8. М. А. Лялинов, *Комментарий о собственных функциях и собственных числах оператора Лапласа в угле с краевыми условиями Робэна*. — Запис. научн. семина. ПОМИ РАН, **483** (2019), 116–127.
9. F. Ursell, *Waves on a sloping beach*. — Proc. Royal Soc. London A, **214** (1952), 79–97.
10. N. Kuznetsov, V. Maz'ya, B. Vainberg, *Linear Water Waves*. — Cambridge Univ. Press, Cambridge (2002).
11. M. Roseau, *Short waves parallel to the shore over a sloping beach*. — Comm. Pure Appl. Math. **11** A958 (1958), 433–493.

12. A. I. Komech, A. E. Merzon, P. N. Zhevandrov, *On the completeness of Ursell's trapping modes.* — Russian J. Math. Phys., No. 4 (1997), 457–486.
13. M. A. Lyalinov, N. Y. Zhu, *Scattering of Waves by Wedges and Cones with Impedance Boundary Conditions* (Mario Boella Series on Electromagnetism in Information Communication). — Edison, NJ: SciTech-IET (2012).
14. G. D. Maliuzhinets [Malyuzhinets]. *Excitation, reflection and emission of surface waves from a wedge with given face impedances.* — Soviet Physics: Doklady, **3**, No. 4 (1958), 752–755.
15. V. M. Babich, M.A. Lyalinov, V. E. Grikurov, *Diffraction Theory. The Sommerfeld-Malyuzhinets Technique.* — Alpha Science Ser. Wave Phenom. Alpha Science, Oxford (2008).
16. М. В. Федорюк, *Асимптотика: интегралы и ряды.* — Наука, Москва (1987).
17. V. M. Babich, D. B. Dement'ev, B. A. Samokish, V. P. Smyshlyaev, *On evaluation of the diffraction coefficients for arbitrary "Nonsingular" directions of a smooth convex cone.* — SIAM J. Appl. Math., **60**, (2) (2000), 536–573.
18. I. S. Gradshteyn, I. M. Ryzhik, *Tables of integrals, series and products.* — 4th ed., Academic Press, Orlando (1980).
19. A. A. Fedotov, F. Sandomirskiy, *An exact renormalization formula for the Maryland model.* — Commun. Math. Phys., **334** (2015), 1083–1099.
20. Bernard JML. 1997 *Méthode analytique et transformées fonctionnelles pour la diffraction d'ondes par une singularité conique: équation intégrale de noyau non oscillant pour le cas d'impédance constante*, rapport CEA-R-5764. Editions Dist-Saclay. (erratum in J. Phys. A, vol.32, p.L45), an extended version in Bernard JML. *Advanced Theory of Diffraction by a Semi-infinite Impedance Cone.* Oxford, UK: Alpha Science Ser. Wave Phenom, Alpha Science, 2014.
21. E. C. Titchmarsh, *Introduction to the theory of Fourier integrals.* — Oxford Press (1937).

Lyalinov M. A. Eigenfunctions of negative spectrum for the Schrödinger operator in a halfplane having singular potential on a ray and with Neumann boundary condition.

In this work eigenfunctions of essential and discrete spectrum are constructed. Integral representations and asymptotics of the eigenfunctions at far distances are obtained.

С.-Петербургский  
государственный университет  
E-mail: lyalinov@yandex.ru

Поступило 28 октября 2020 г.